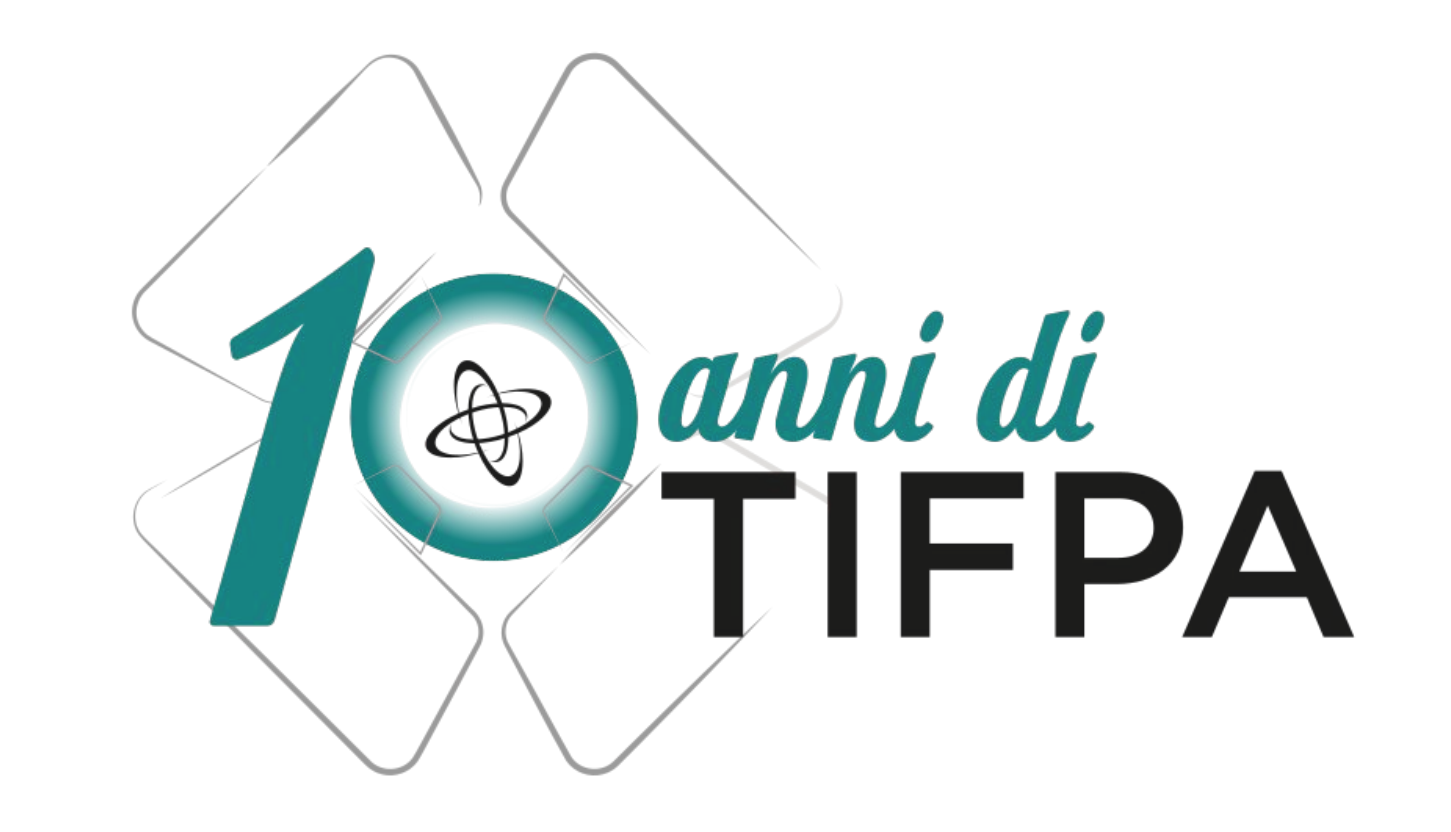


# Sviluppo di sensori a pixel 3D per High-Luminosity LHC

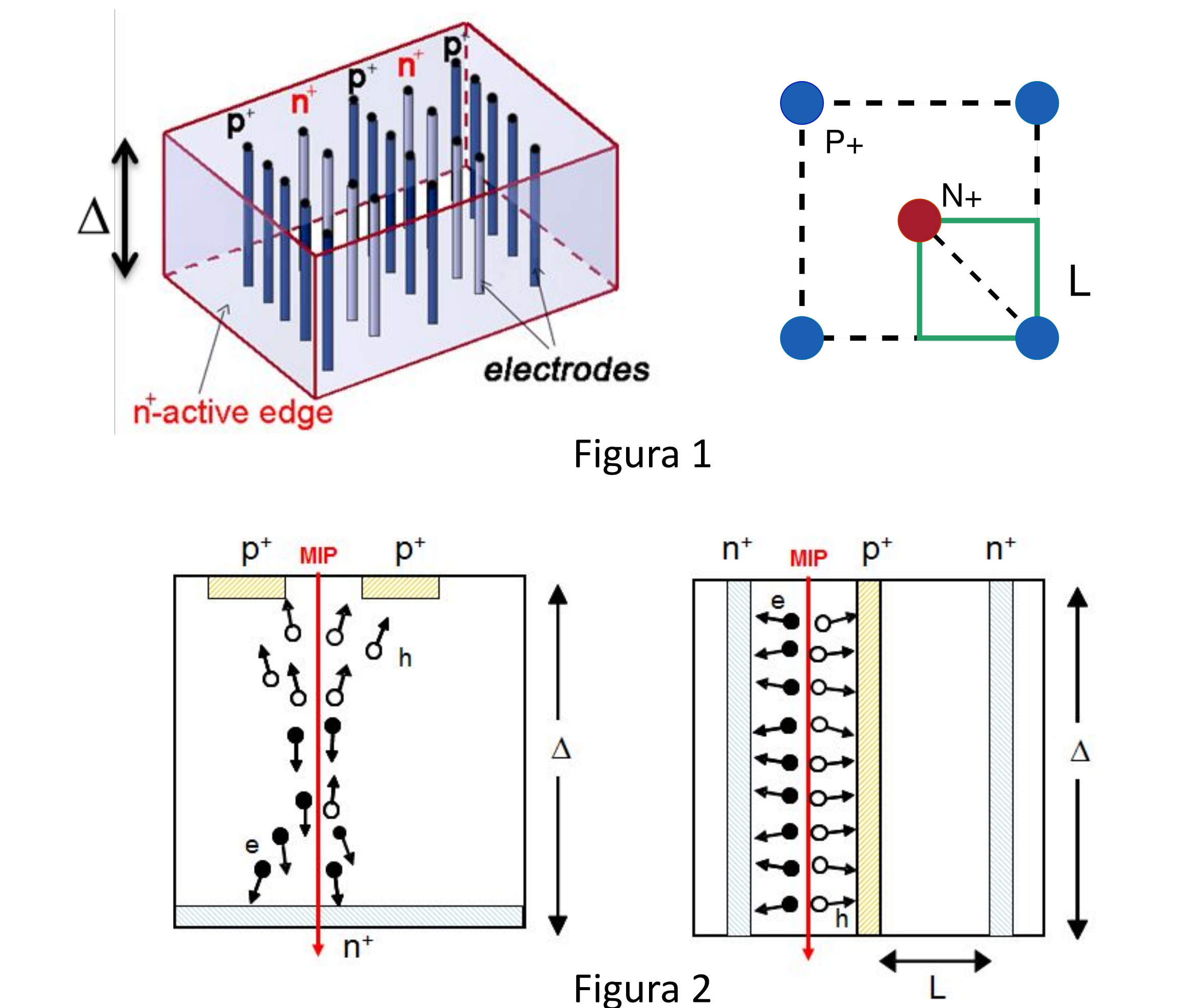
Matteo Polo<sup>1,2</sup>, Jixing Ye<sup>1,2</sup>, Gian-Franco Dalla Betta<sup>1,2</sup>



<sup>1</sup>TIFPA INFN, Trento, Italy <sup>2</sup> Dipartimento di Ingegneria Industriale, Università di Trento, Trento, Italy

### Introduzione

- Nei sensori a pixel 3D, introdotti da Sherwood Parker [1], gli elettrodi sono realizzati verticalmente attraverso il substrato utilizzando tecniche tipiche dei MEMS (Micro-Electro-Mechanical Systems). Lo spessore del substrato ( $\Delta$ ) può essere disaccoppiato dalla distanza tra gli elettrodi (L), e da layout si può ottenere L $<<\Delta$  (Figura 1)
- Le cariche generate dalle particelle cariche sono raccolte con maggiore efficienza e più rapidamente rispetto ai sensori planari (Figura 2)
- Questo garantisce una elevata tolleranza dal danno da radiazione e rende i pixel 3D adatti agli strati più interni dei tracciatori di particelle.
- Tra il 2005 ed il 2012, nei progetti INFN CSN5 TREDI e TRIDEAS, sono stati realizzati pixel 3D con un approccio originale doppia-faccia, che sono stati infine impiegati nell'Insertable B-Layer (IBL) del progetto ATLAS, con un importante contributo del gruppo INFN di Trento e di FBK, che ha realizzato metà della produzione richiesta



#### Da LHC a HL-LHC

- Con il passaggio all'HL-LHC ci si aspetta un aumento della luminosità e della fluenza di quasi un fattore 10, con problemi di *occupancy* (Figura 3) e di tolleranza alle radiazioni
- Questo comporta la modifica delle geometrie, in particolare:
  - $\circ$  Pixel più piccoli (50x50 o 25x100 μm²) con spaziatura inter-elettrodi ridotta (~30-50 μm) (Figura 4)
  - $\circ$  Elettrodi più stretti ( $\sim$ 5 µm) e regione attiva più sottile ( $\sim$ 150 µm)
- Il processo doppia-faccia non è utilizzabile per sensori sottili. Nell'ambito degli sviluppi congiunti INFN (ATLAS e CMS) - FBK per Fase 2, si è passati ad un processo singola-faccia con substrato di supporto [2], mantenendo però la polarizzazione dal retro (Figura 5).

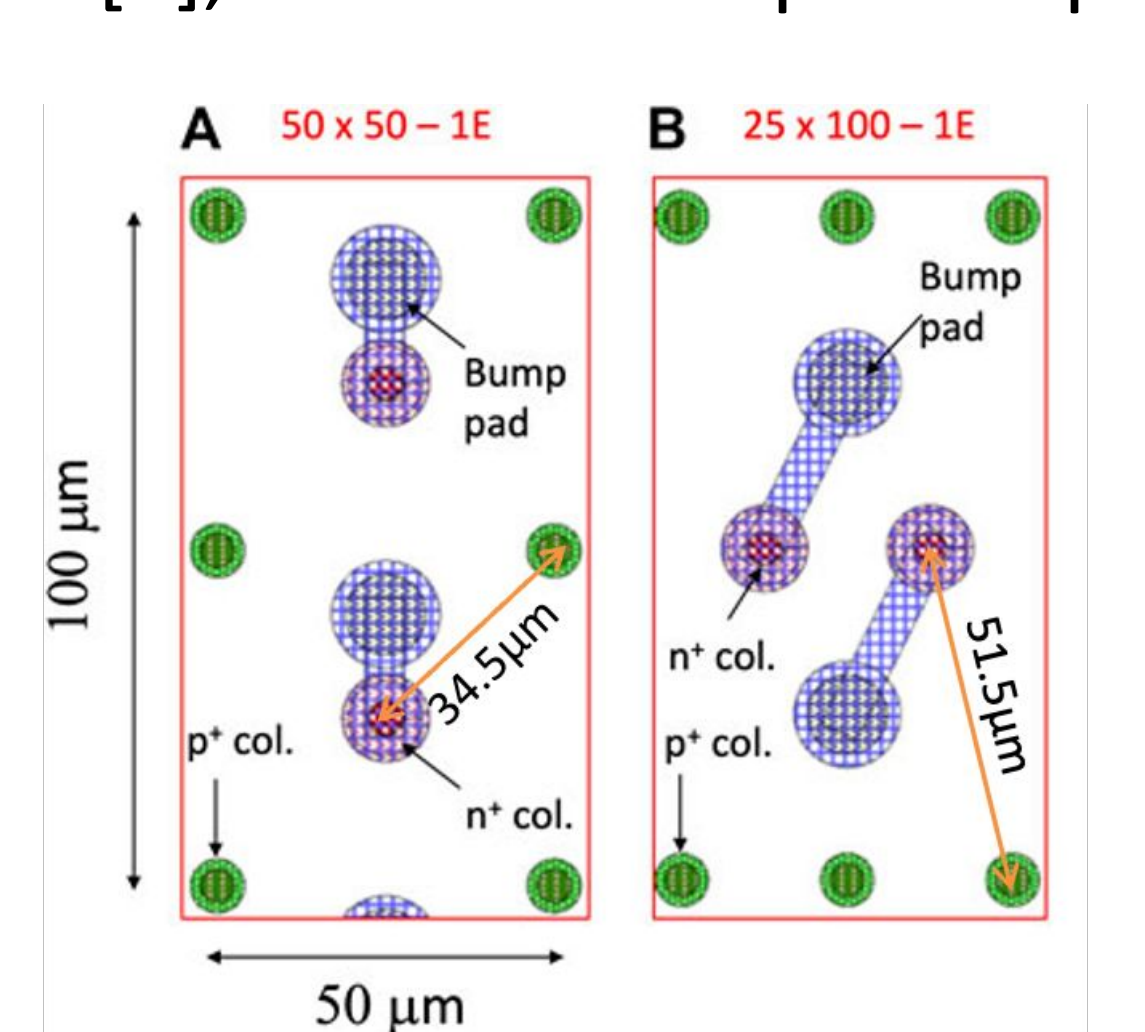


Figura 4

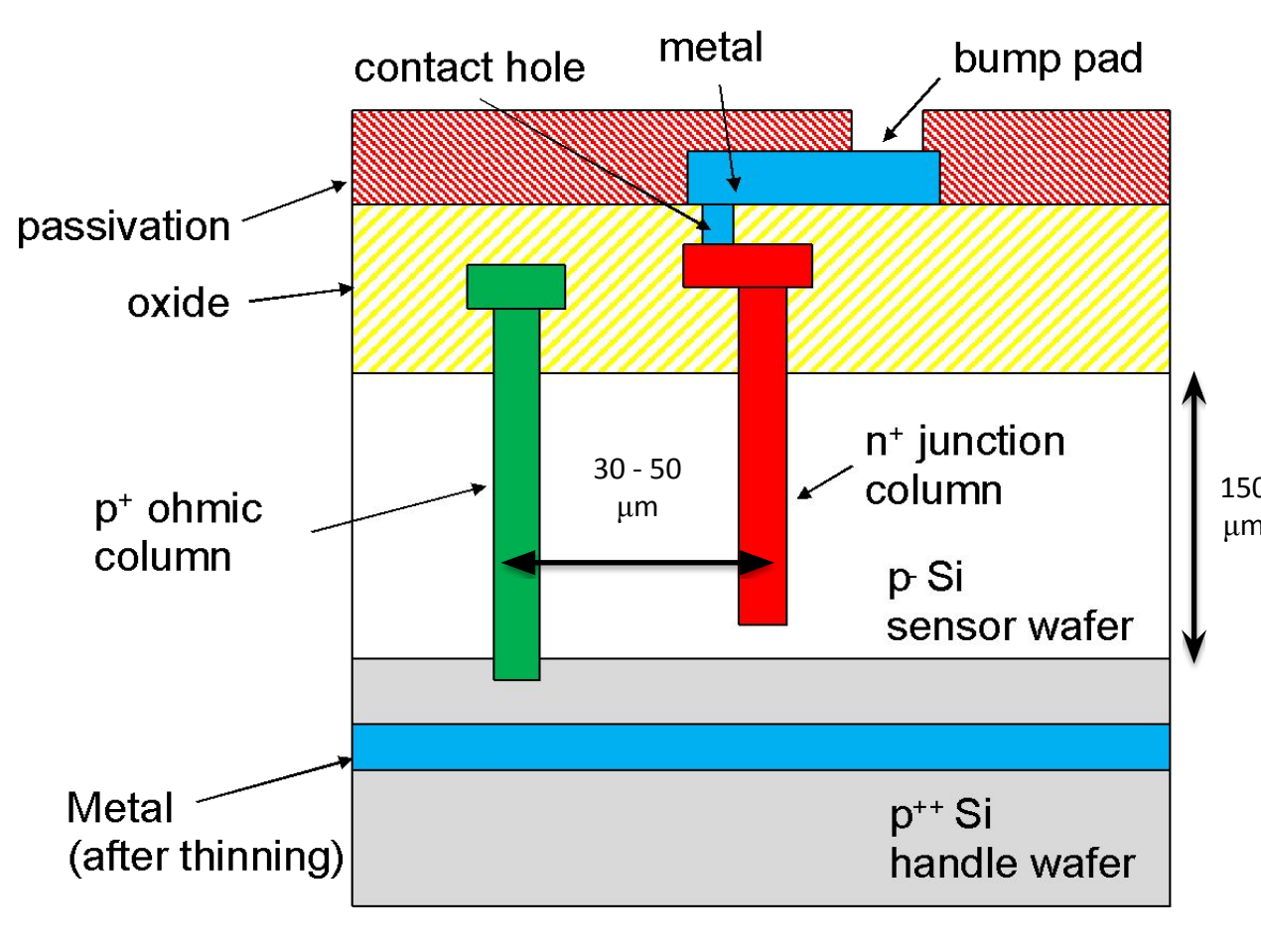


Figura 5

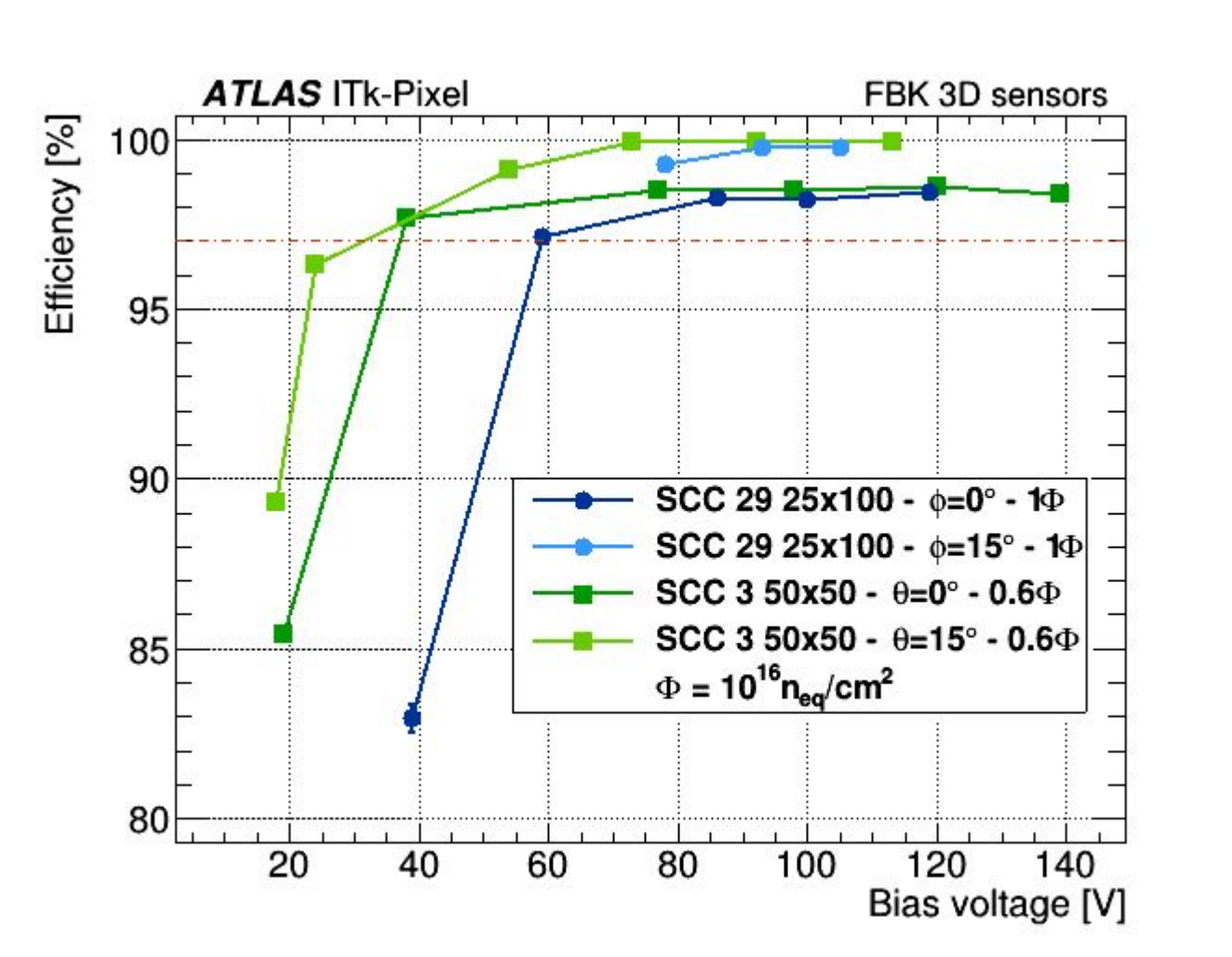


Figura 6

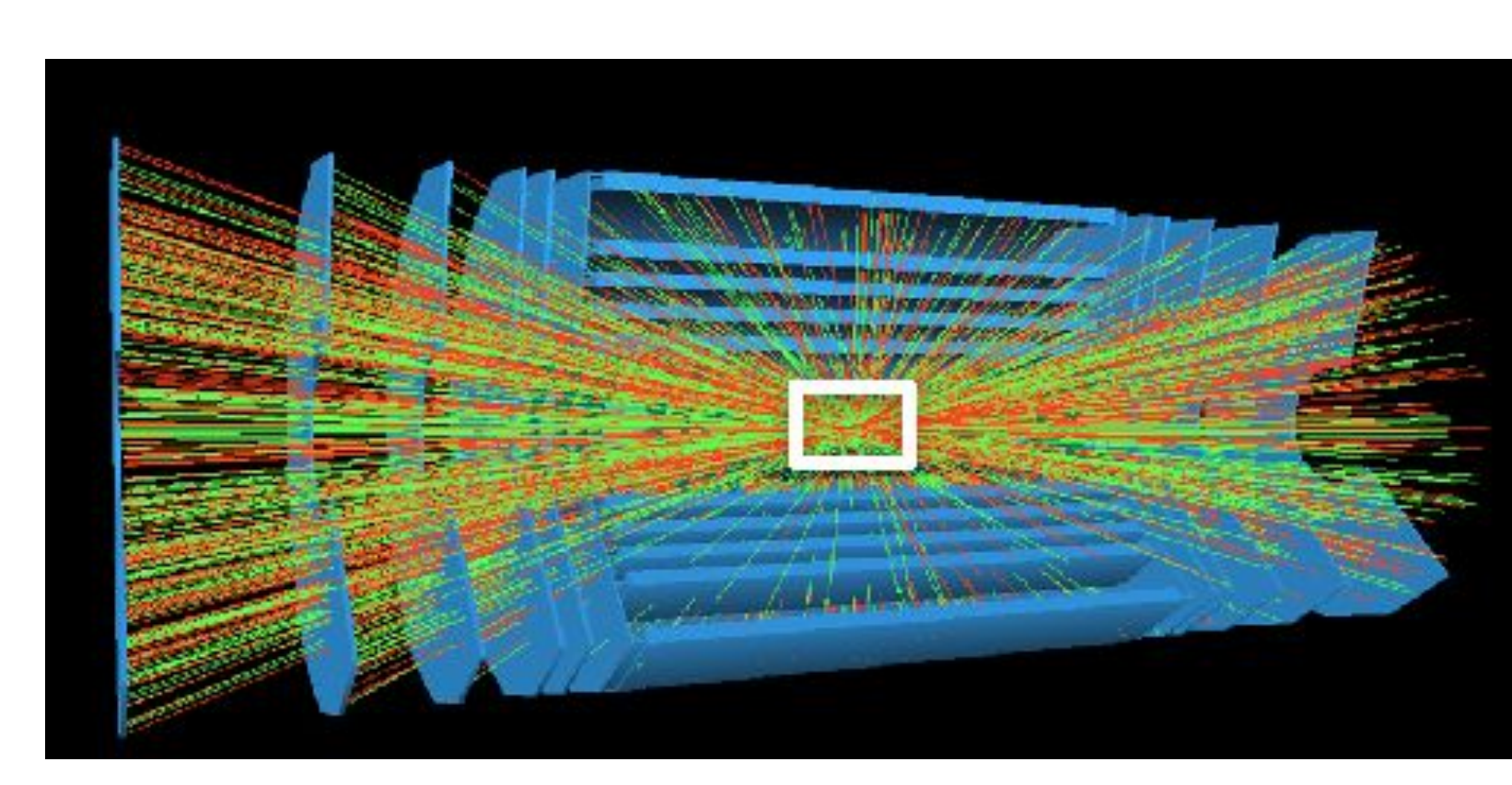


Figura 3

Questi sensori hanno dimostrato di poter fornire elevata efficienza anche dopo irraggiamento fino ad una fluenza di  $1x10^{16}$  n<sub>eg</sub>/cm<sup>2</sup> (Figura 6) e oltre [3]. La produzione dei pixel 3D per ATLAS  $(50x50 e 25x100 \mu m^2) e la$ pre-produzione dei pixel 3D per CMS  $(25x100 \mu m^2)$  sono in corso a FBK

## Pixel 3D per timing

- I sensori 3D sono anche molto veloci!
- Con le architetture a colonna, però, risoluzione temporale è limitata a causa della disuniformità del campo elettrico (Figura 7) e del weighting field
- A questo si può ovviare utilizzando elettrodi a trincea (Figure 7 e 8), sviluppate nel progetto INFN TIMESPOT, coi quali si può raggiungere una risoluzione temporale di 10ps (Figura 9) [4].

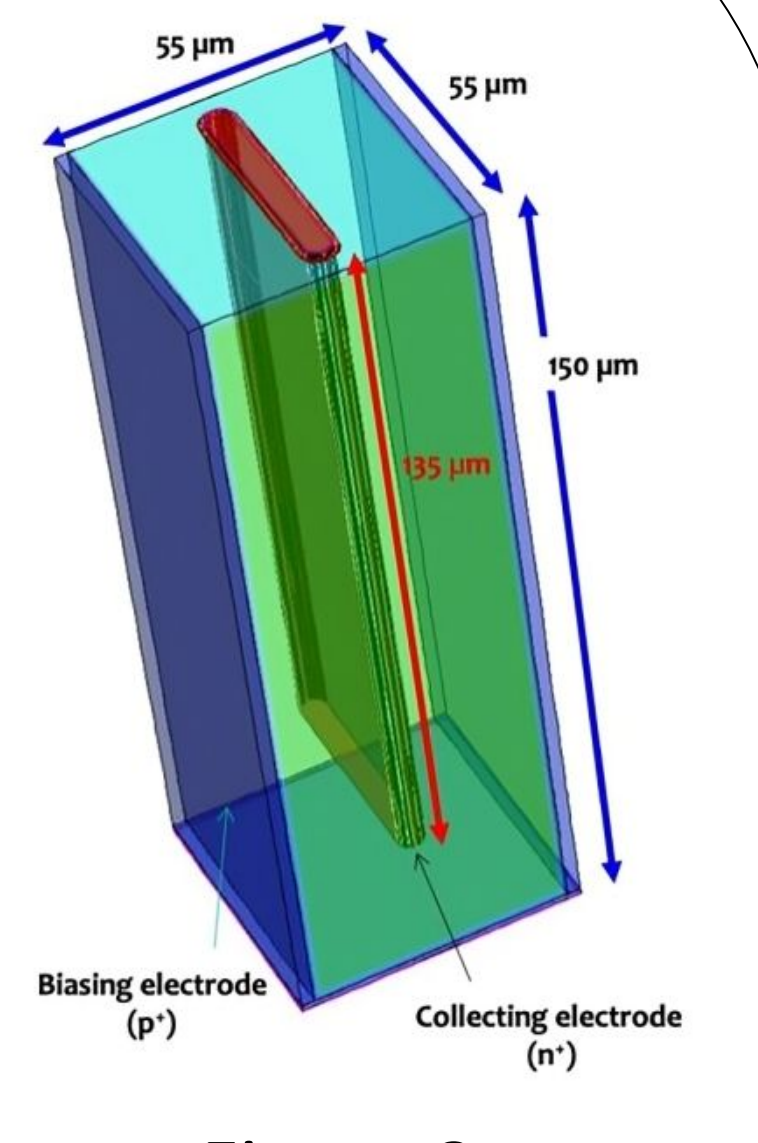


Figura 8

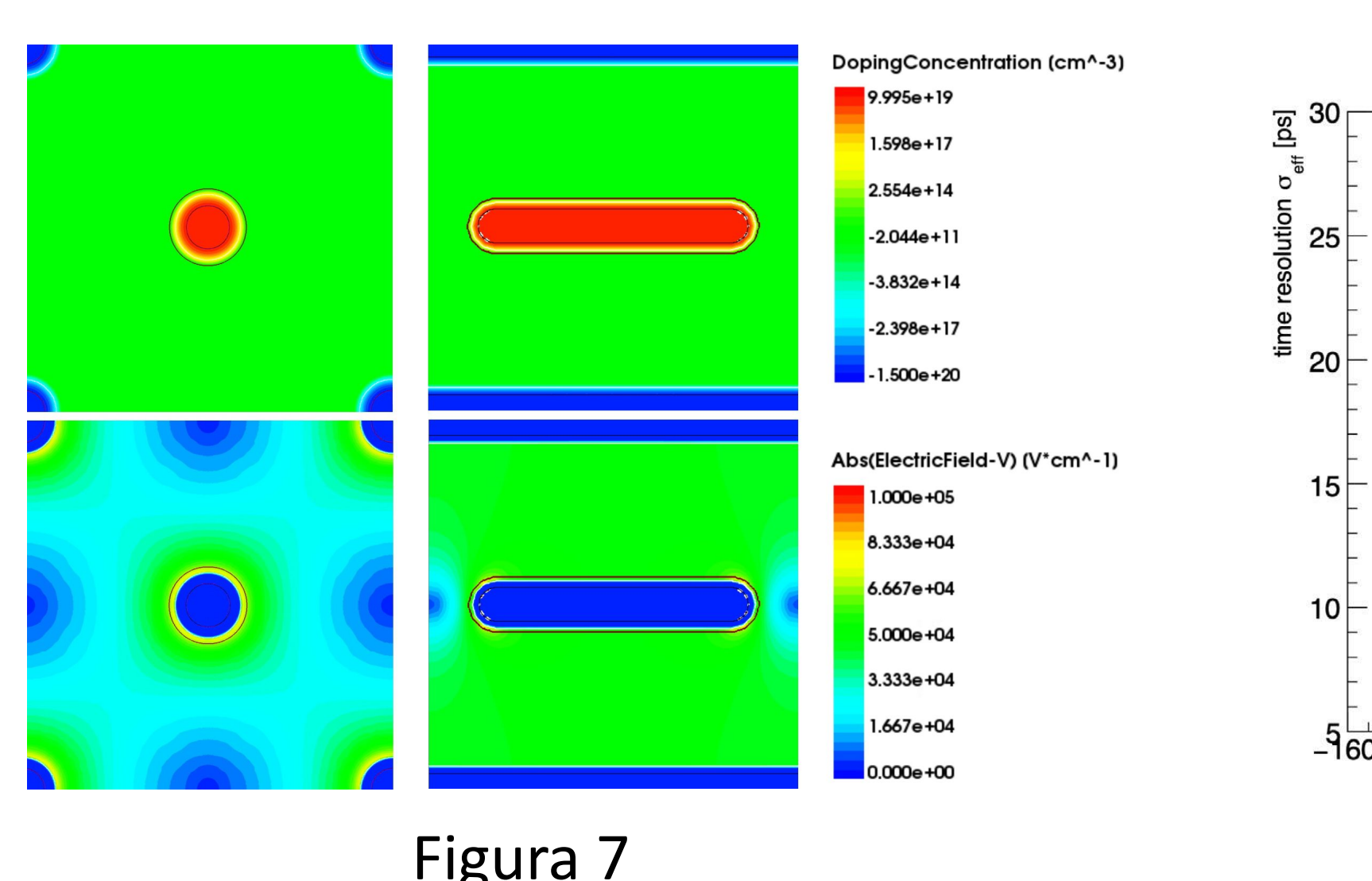
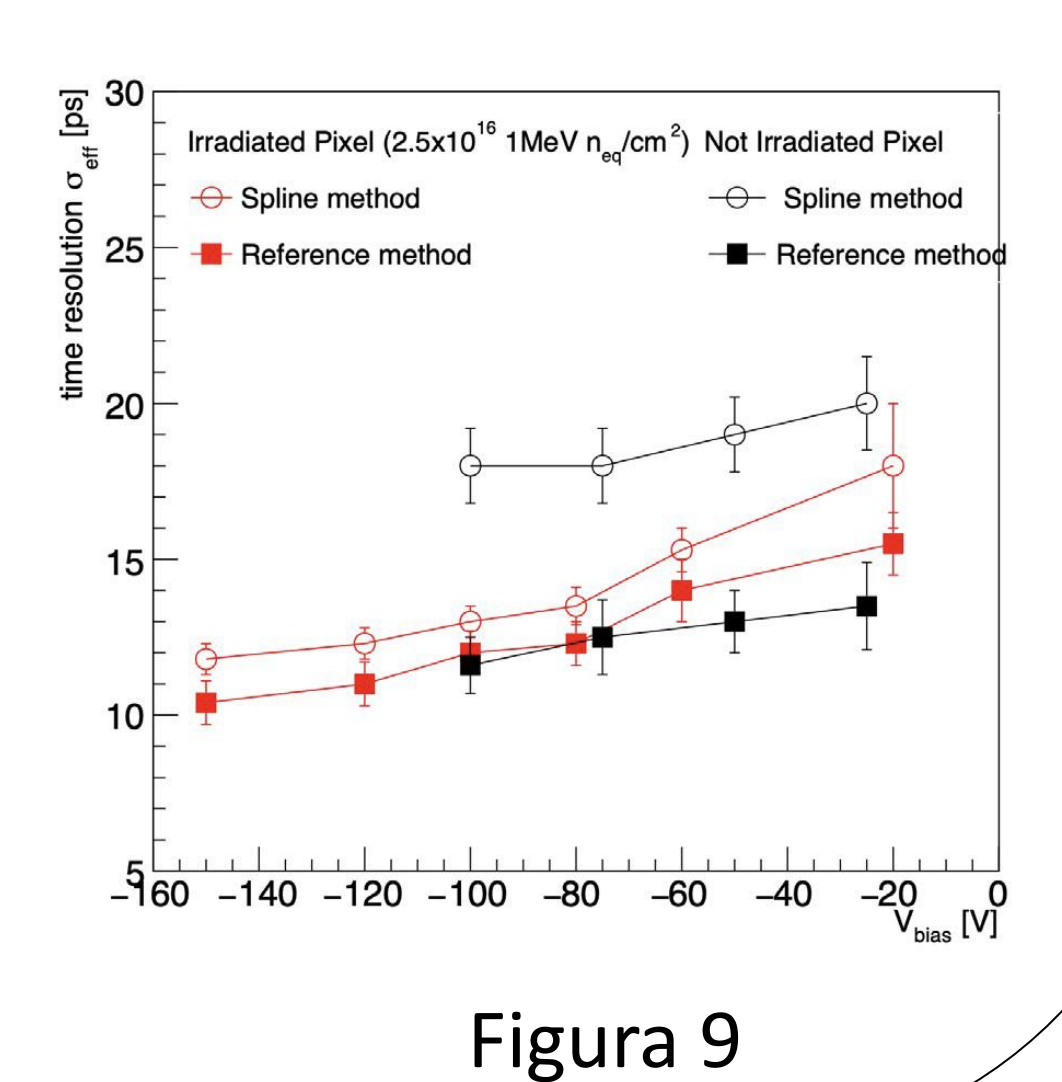


Figura 7



## Sensori 3D per neutroni termici

Combinando le strutture in 3D con materiali sensibili ai neutroni (ad esempio <sup>10</sup>B o <sup>6</sup>Li) (Figura 10) è possibile rivelare neutroni termici con efficienza teorica (Figura 11) fino al 30% [5].

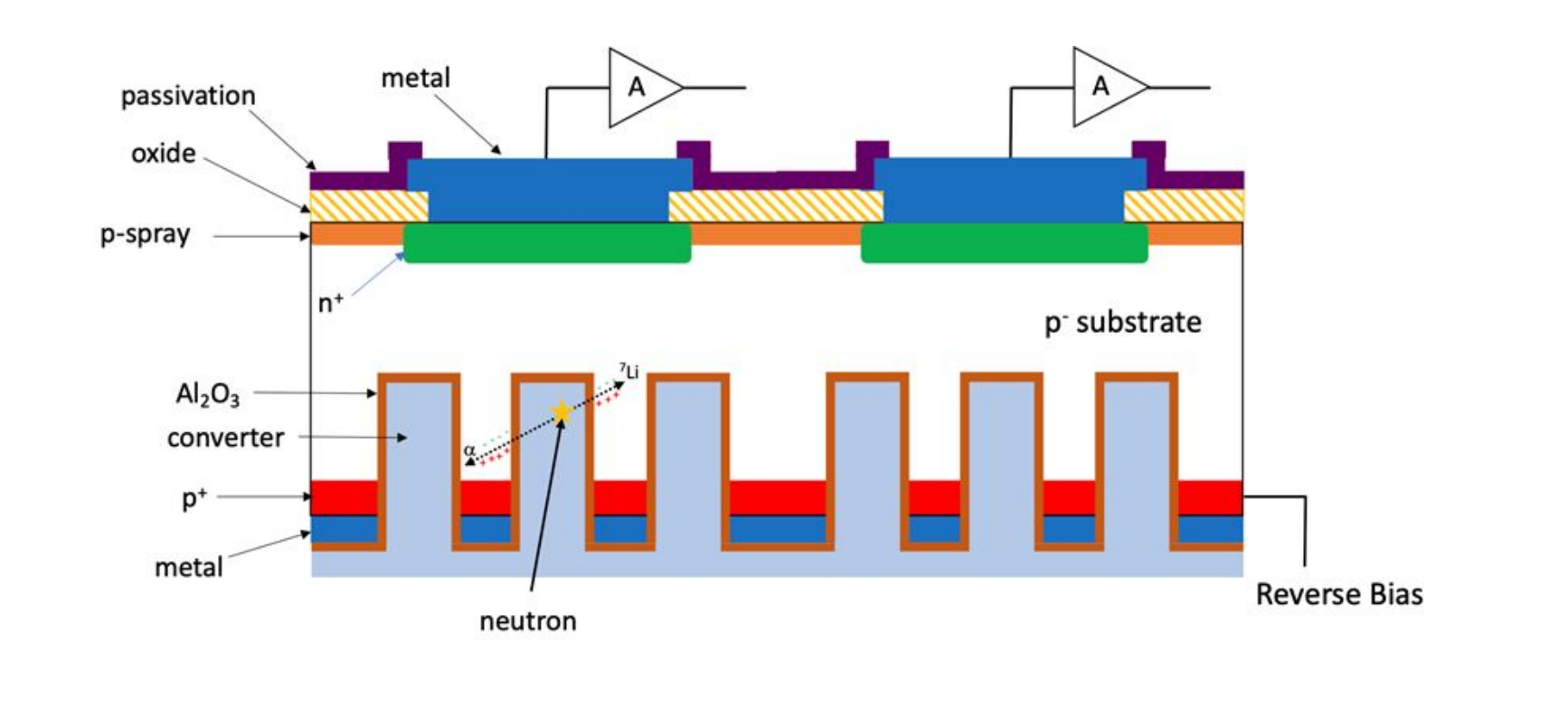


Figura 10

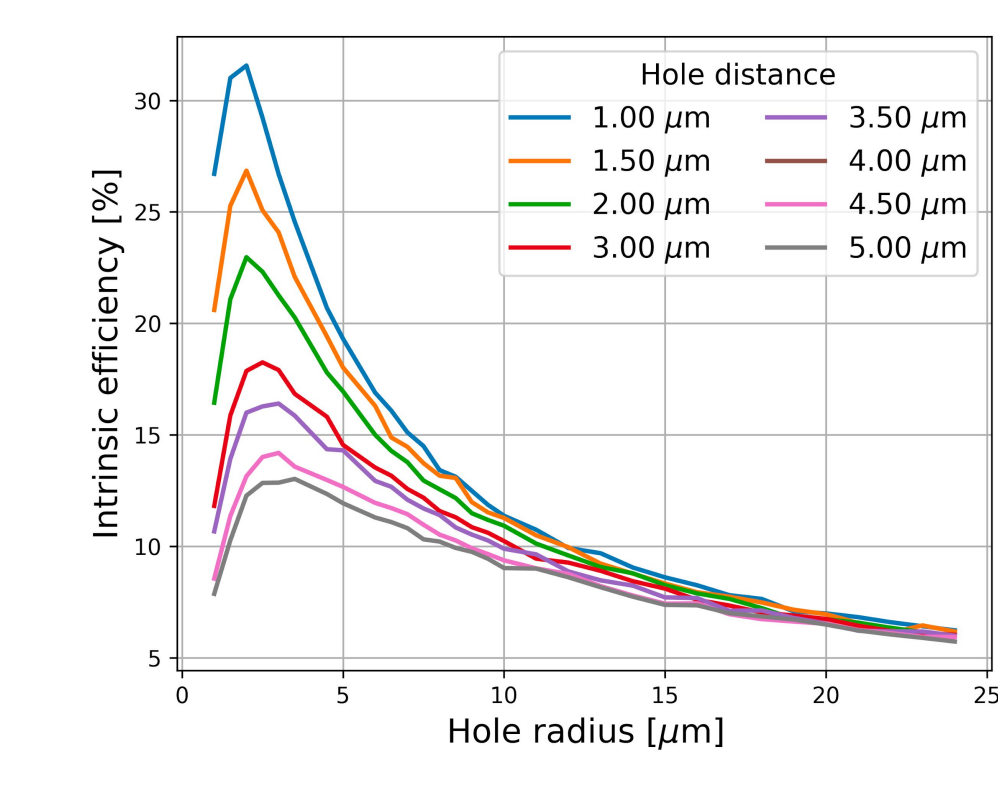


Figura 11

#### Bibliografia

- S. Parker et. al. NIMA 395 (1997) 328
- G.-F. Dalla Betta et al., NIMA 824 (2016) 386 and 388
- G. Calderini et al., JINST 18 (2023) C01010
- A. Lampis et al., JINST 18 (2023) C01051
- M. Polo et al., ANIMMA 2023